

## بررسی تأثیر انحنای گوشه گشودگی بر تموزن ناشی از شار حرارتی\*

محمد جعفری<sup>(۱)</sup>      محمد باقر نظری<sup>(۲)</sup>

**چکیده** بر پایه تئوری ترمولاستیسیته دو بعدی حالت پایدار میدان تنش در اطراف گشودگی‌های مختلف در یک صفحه نامحدود همسان‌گرد مورد بررسی قرار می‌گیرد. صفحه در بینهایت تحت جریان حرارتی یکنواخت است و مرز گشودگی مرکزی عایق است. با استفاده از توابع پتانسیل مختلط و به کارگیری نگاشت همنوا و حل معادلات انتگرالی، تأثیر انحنای گوشه گشودگی بر توزیع تنش اطراف گشودگی مطالعه می‌شود. روش حل بر پایه بسط روش گودیر و فلورنس است. آنها از روش متغیر مختلط برای تحلیل تنش ورق نامحدود همسان گوشه گرد حاوی گشودگی دایره‌ای و بیضی‌شکل استفاده کردند. برای سادگی استفاده از انتگرال کوشی ورق نامحدود شامل گشودگی غیردایروی به ناحیه درون دایره‌ای به شعاع واحد نگاشته می‌شود. نتایج حاصل نشان می‌دهند که انحنای گوشه گشودگی تأثیر بسزایی بر توزیع تنش دارد.

**واژه‌های کلیدی** نرمی گشودگی؛ تنش حرارتی؛ نگاشت همنوا؛ حل تحلیلی؛ شار حرارتی.

### A Study of the Effect of Curvature of the Corner of Hole on Stress Concentration Caused by Uniform Heat Flux

M. Jafari      M.B. Nazari

**Abstract** On the basis of the steady-state two-dimensional theory of thermoelasticity, stress field around various holes in infinite isotropic plate is discussed. The plate is subjected to uniform heat flux and thermal insulated condition along the hole boundary is assumed. by using the complex potential functions and by applying the conformal mapping and solving the integral equations, the effect of bluntness on stress distribution around the hole is studied. The used method is the expansion of the Goodier and Florence's method. They used complex variable method for stress analysis of infinite isotropic plates with elliptical and circular holes. For simplicity of using the Cauchy integral formula, the infinite area external to the non-circular hole can be represented by the area outside the unit circle. The results obtained demonstrate the effect of bluntness on stress distribution around the holes.

**Key Words** Bluntness; Complex Variable Method; Conformal Mapping; Analytical Solution; Uniform Heat Flux.

---

★ تاریخ دریافت مقاله ۹۴/۱۱/۳ و تاریخ پذیرش آن ۹۴/۷/۲۱ می‌باشد.

(۱) نویسنده مسئول: استادیار، مهندسی مکانیک، دانشگاه صنعتی شاهرود. m\_jafari821@shahroodut.ac.ir

(۲) استادیار، مهندسی مکانیک، دانشگاه صنعتی شاهرود.

## مقدمه

بارگذاری حرارتی است و بخش دیگر تحقیقات، به بررسی حضور ترک می‌پردازد. گودیر و فلورنس [1] و موشخلیشولی [2] پایه‌گذار تئوری‌های مربوط به حل مسائل ترموموالتیک دو بعدی با استفاده از روش متغیر مختلط هستند. فلورنس و گودیر [1,3] تنش‌های حرارتی برای یک ورق الاستیک همسان‌گرد شامل گشودگی دایره‌ای و ییضی‌شکل را با استفاده از روش متغیر مختلط حل کردند. رائو [4] از روش تحلیلی ارائه‌شده توسط لی [5] مسئله سه‌بعدی تعیین تنش‌های حرارتی را در اطراف گشودگی ییضی‌شکل عایق در یک ورق ضخیم و تحت جریان حرارتی یکنواخت در دستگاه مختصات ییضوی حل کرد. تاکیوتی و سومی [6] با به کارگیری روش متغیر مختلط و استفاده از توابع تنش مختلط توانستند توزیع تنش حرارتی را در ورقی با ابعاد محدود و دارای گشودگی دایره‌ای به دست آورند. نتایجی عددی برای محاسبه تنش در ورق مستطیلی شکل با نسبت‌های مختلف شعاع گشودگی به ابعاد ورق ارائه شد. در این تحقیق، شرایط مرزی متفاوتی برای لبه‌های ورق و مرز گشودگی مورد بررسی قرار گرفت. نیستانی و همکارانش [7] حلی برای یک ورق نامحدود دارای گشودگی دایره‌ای و تحت شار حرارتی یکنواخت به دست آوردن. کاتیس و همکارانش [8] مسئله ترموموالتیک میان‌بارها یا گشودگی‌های واقع در یک زمینه الاستیک نامحدود را مورد بررسی قرار دادند. آنها مرزهای مسئله را با استفاده از نگاشت همنوای مشخصی به داخل دایره‌ای به شعاع واحد تبدیل کردند. در مقاله‌ای توسط هاسبی و همکارانش [9] روابط مربوط به حل مسئله ترموموالتیک دو بعدی برای ورق حاوی گشودگی به صورت کامل تشریح شد. ورق از ماده الاستیک خطی همگن و همسان‌گرد ساخته شده است و از قانون هوک تبعیت می‌کند. در این مقاله، آنها از روش متغیر مختلط برای ارائه روابط خود استفاده کردند. توابع پتانسیل مختلط برای توابع نگاشت مورد استفاده در

ورق‌ها به دلیل کاربرد وسیع در صنایع مختلف از اهمیت بسیاری برخوردار هستند. ورق‌ها کاربرد عملی مهمی در ساخت توربین‌های جدید بخار و گاز، موتورهای موشک و جت و راکتورهای هسته‌ای دارند. اجزای این قبیل سازه‌ها عمدها تحت بارگذاری حرارتی قرار می‌گیرند. این نوع بارگذاری باعث گردیدان دمایی و انبساط حرارتی غیریکنواخت بین اجزای مختلف می‌شود. درصورتی که انبساط حرارتی غیریکنواخت آزادانه نتواند پیشرفته باشد؛ در یک جسم الاستیک باعث تنش‌های حرارتی می‌شود. به عبارت دیگر یک ورق نامحدود تحت جریان حرارتی پایدار با یک گردیدان حرارتی ثابت درصورتی که تحت هیچ قید مکانیکی در لبه‌های خارجی قرار نگیرد و هیچ گشودگی نداشته باشد؛ تحت هیچ تنش حرارتی قرار نمی‌گیرد. تنش حرارتی وقتی ایجاد می‌شود که جریان حرارتی یکنواخت در حضور یک گشودگی عایق مغلوش شود. وجود عیوب و ناپیوستگی‌هایی مانند گشودگی در ورق‌هایی که تحت جریان حرارتی یکنواخت قرار می‌گیرند باعث تجمع تنش در اطراف آنها می‌شود و در عمر مفید و ضربی اطمینان سازه تأثیرگذار است. تعیین مقدار و محل این تنش‌ها برای دست‌یابی به طراحی منطقی و واقع‌بینانه این اجزا ضروری است. لذا تحقیق در مورد تمرکز تنش ایجادشده در اطراف گشودگی‌های مختلف در مواد الاستیک که تحت جریان حرارتی یکنواخت قرار می‌گیرند در طراحی پیشرفته سازه‌های مهندسی بسیار مهم است.

تحقیقات متعددی در مورد مسئله ترموموالتیک ورق‌های همسان‌گرد حاوی گشودگی یا نقص هندسی از روش متغیر مختلط انجام شده است. بخشی از این تحقیقات شامل بررسی تأثیر وجود گشودگی یا میان‌بار (inclusion) در تحلیل تنش ورق‌های نامحدود و تحت

آدیاباتیک و ایزوترمال به دست آوردند. ورق ناهمسان گرد نامحدود حاوی گشودگی بیضی شکل تحت جریان حرارتی یکنواخت با استفاده از فرمول بندی لخینتیکی و نگاشت همنوا در مقاله‌ای توسط چاو و گائو [16] حل شد. تحلیل تنش و میدان مغناطیسی برای یک ورق نازک نامحدود از جنس مواد فرومغناطیس نرم، پارامغناطیس و دیامغناطیس با یک گشودگی بیضی شکل تحت جریان الکتریکی پایدار توسط هاسبه [17] ارائه شد. به جز فرض تنش صفحه‌ای که به دلیل نازک بودن ورق در نظر گرفته شد؛ در تحقیق آنها هیچ فرض دیگری برای تحلیل صورت نگرفت. هاسبه و همکارانش [18] با استفاده از روش متغیر مختلط وتابع نگاشت کسری مناسب مسئله توزیع جریان الکتریکی، دما و تنش‌های حرارتی در یک ورق هادی نامحدود را تحلیل کردند. جریان الکتریکی یکنواخت در بینهایت به یک ورق هادی نامحدود شامل یک گشودگی بیضی شکل که در مرز گشودگی دارای یک ترک لبه‌ای است؛ اعمال شد. جریان الکتریکی باعث ایجاد گرما و شار حرارتی و درنهایت تنش حرارتی در ورق شد. ضرایب شدت تنش نیز در این مقاله محاسبه شدند. وانگ و چائو [19] به کمک ترمومالاستیستیک صفحه‌ای حلی تحلیلی برای ورق حاوی میان‌باری که شکلی نزدیک به دایره دارد؛ ارائه کردند. در این تحقیق از روش متغیر مختلط و تئوری اغتشاشات برای ارائه نتایج استفاده شد. هاسبه و همکارانش [20] مسئله مقدار مرزی ترمومالاستیک برای یک میان‌بار صلب در تقابل با یک ترک خطی را در یک ورق نامحدود تحت جریان حرارتی یکنواخت مطالعه کردند. در این مقاله سعی شد تا چرخش صلب میان‌بار نیز بررسی شود. مسئله با استفاده از روش متغیر مختلط و با ارائه تابع نگاشتی کسری حل شد. در مورد صفحات همسان گرد حاوی ترک می‌توان به تحقیقات زیر اشاره کرد.

مقاله و هم‌چنین برای شرایط مرزی و دمایی مختلف استخراج شدند. حل عمومی برای مسائل با شرایط مرزی نیرویی، جابه‌جایی و ترکیبی تحت شار حرارتی یکنواخت و یا تحت یک منبع حرارتی نقطه‌ای به دست آمد.

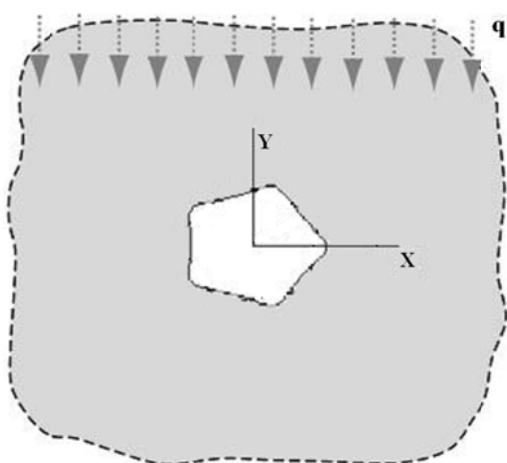
بهولار [10] مدل دوبعدی مسئله ترمومالاستیک در یک ناحیه شش‌ضلعی با یک گشودگی بیضی شکل را مورد بررسی قرار داد. مرز خارجی تحت جریان حرارتی یکنواخت در نظر گرفته شد. در این تحقیق فرض شد که گشودگی بیضی شکل در مرکز ناحیه قرار گرفته و عایق است. آسری [11] از روش متغیر مختلط برای به دست آوردن توابع پتانسیل و توابع گورست برای یک ورق الاستیک نامحدود دارای گشودگی‌هایی با اشکال مختلف استفاده کرد. به منظور دسترسی به حلی صریح، این گشودگی‌ها با استفاده از تابع نگاشتی مناسب و همنوا به خارج دایره‌ای به شعاع واحد نگاشته می‌شوند. بهولار و گز [12] و همکارش با فرض تنش صفحه‌ای تحلیل تنش حرارتی در یک ورق همسان گرد با یک گشودگی شبیه‌بیضی را بررسی کردند. آنها از روش متغیر مختلط و از شرایط همدما می‌در مرز گشودگی استفاده کردند. تنش ماقزیم در اطراف گشودگی‌های مختلف محاسبه شد. در مورد مواد ناهمسان گرد از تعمیم تئوری‌های ارائه شده توسط اشترو و لخینتیکی برای تحلیل صفحات حاوی گشودگی‌های مختلف و تحت جریان حرارتی یکنواخت استفاده شد. وو [13] تأثیر دما بر تغییر شکل صفحه‌ای در یک جسم الاستیک ناهمسان گرد را بررسی کرد. مسئله تنش‌های حرارتی در یک جسم ناهمسان گرد تحت جریان حرارتی یکنواخت که بهوسیله یک گشودگی بیضی شکل یا ترک چهار آشفتگی می‌شد توسط هوو [14] مورد بررسی قرار گرفت. یوشیکاوا و هاسبه [15] توابع گرین مربوط به یک مسئله ترمومالاستیستیک دوبعدی را برای یک ورق نامحدود با گشودگی دلخواه و با شرایط دمایی

مورد مطالعه قرار دهد؛ وجود ندارد. با معرفی تابع نگاشتی مناسب در این تحقیق امکان بررسی گشودگی‌های مختلف و بررسی انحنای گوشة گشودگی براحتی فراهم می‌شود. در این تحقیق سعی می‌شود تا به مطالعه تأثیر این پارامتر بر روی توزیع تنش اطراف انواع گشودگی‌ها پرداخته شود.

### خواص مکانیکی ماده به کار رفته و فرضیات

در این تحلیل از یک صفحه حاوی گشودگی مرکزی استفاده شده است. گشودگی چنان در نظر گرفته شده است که مسئله به شکل صفحه نامحدود درآید (اندازه گشودگی در مقابل ابعاد صفحه کوچک است).

ماده دارای رفتار الاستیک خطی است و با توجه به شرایط مرزی (عدم وجود منبع حرارتی داخل گشودگی) تنها تنش ایجاد شده در مرز گشودگی  $q_0$  است. صفحه تحت شار یکنواخت تکجهتی مطابق شکل (۱) قرار گرفته است. جریان حرارتی یکنواخت که در بینهایت اعمال می‌شود در اثر وجود گشودگی عایق، واقع در مرکز صفحه مغذی شود. این امر باعث ایجاد تنش در اطراف گشودگی می‌گردد. روش مورد استفاده روش متغیر مختلط است.



شکل ۱ صفحه بینهایت تحت جریان یکنواخت  $q$  با گشودگی مرکزی پنج ضلعی

چن [21] مسئله یک ترک به شکل کمانی از دایره در یک ورق نامحدود را تحت بارگذاری حرارتی به کمک تابع پتانسیل متغیر مختلط و روش معادله انتگرال حل کرد. وین و همکارانش [22] تقابل بین یک گشودگی ترکدار و یک ترک خطی تحت جریان حرارتی یکنواخت را بررسی کردند. نتایج آنها نشان داد که تقابل بین گشودگی ترکدار و ترک خطی تحت جریان حرارتی یکنواخت متهی به حذف ضرایب شدت تنش در نوک ترک لبه‌ای گشودگی می‌شود. این امر برای تقابل بین گشودگی ترکدار و ترک خطی تحت کشش یکنواخت در دور دست دیده نشد. گائو و همکارانش [23] حل دقیق برای تحلیل تنش ورق پیزوالکتریک دارای گشودگی بیضی‌شکل یا ترک ارائه کردند. ابتدا با تعیین مسئله دو بعدی براساس نسخه پیشرفته فرمول‌بندی اشتورو-اشلبای، یک گشودگی بیضی‌شکل در یک جسم ترمопیزوالکتریک و تحت جریان حرارتی یکنواخت و بارهای الکتریکی-مکانیکی در بینهایت مطالعه شد. سپس با میل دادن ابعاد گشودگی به سمت ترک حل هایی دقیق برای ضرایب شدت میدان در نزدیکی نوک ترک و میدان الکتریکی درون ترک ارائه شد. لی و کاردو ماتیس [24] با استفاده از فرمول‌بندی نابهایی اشتورو، پیشرفت ترک برای یک ماده ناهمسانگرد را تحت بارهای ترکیبی مکانیکی و حرارتی مورد بررسی قرار دادند. اخیراً نیز با استفاده از روش متغیر مختلط و حل معادلات انتگرالی با انجام از انتگرال کوشی و استفاده از توابع نگاشتی کسری گشودگی‌های مختلف واقع در صفحات نامحدود همسان‌گرد مطالعاتی انجام شده است [25].

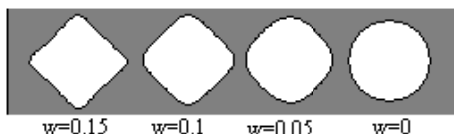
اگرچه تحقیقات زیادی در زمینه ورق‌های حاوی گشودگی و تحت جریان حرارتی یکنواخت انجام شده است؛ ولی بیشتر نتایج ارائه شده برای گشودگی‌هایی با شکل‌های خاص مانند دایره و بیضی است. به نظر مؤلفان این مقاله تحقیقی که به صورت کامل تأثیر شعاع انحنای گوشة گشودگی‌های مختلف بر توزیع تنش را

$$z = w(\zeta) = x + iy \quad (1)$$

که در رابطه فوق  $x$  و  $y$  به صورت زیر به دست می‌آیند:

$$\begin{aligned} x &= \lambda(\cos(\theta) + w\cos(n\theta)) \\ y &= -\lambda(\sin(\theta) - w\sin(n\theta)) \end{aligned} \quad (2)$$

در رابطه فوق، پارامترهای مختلفی از قبیل  $\lambda$ ,  $c$ ,  $n$  و  $w$  دیده می‌شود. این پارامترها نوع شکل، بزرگی و تیزی یا نرمی آن را نشان می‌دهند.  $n+1$  تعداد اضلاع گشودگی را نشان می‌دهد.  $c$  میزان کشیدگی گشودگی (نسبت طول به عرض گشودگی) را نشان می‌دهد.  $\lambda$  بزرگی گشودگی را نشان می‌دهد. پارامتر  $w$  برای تعیین میزان تیزی و یا نرمی گوشه‌های گشودگی تعریف شده است. به عبارت دیگر  $w$  نشان‌دهنده انحنای گوشه‌های گشودگی می‌باشد و مطابق شکل (۳) با کاهش آن، گشودگی به دایره ( $w=0, c=1$ ) یا بیضی ( $w=0, c \neq 1$ ) تبدیل می‌شود. در حقیقت شکل (۳) ترسیم معادله (۲) برای  $w$ های مختلف و  $c=1$  است.



شکل ۳ تأثیر پارامتر  $w$  بر روی شکل گشودگی مربعی

برای جلوگیری از ایجاد گشودگی بالبهای تیز باید  $w$  در بازه  $0 \leq w \leq 1/n$  قرار گیرد. مطابق رابطه مذکور حداقل مقدار  $w$  برای مثلث با  $n=2$  باید بیشتر از 0.5 باشد اما همانند شکل (۴) اگر مقدار  $w$  خارج از محدوده فوق در نظر گرفته شود اضلاع گشودگی در نقاطی یکدیگر را قطع خواهند کرد. تأثیر پارامترهای مختلف در ایجاد گشودگی در شکل (۵) نشان داده شده است.

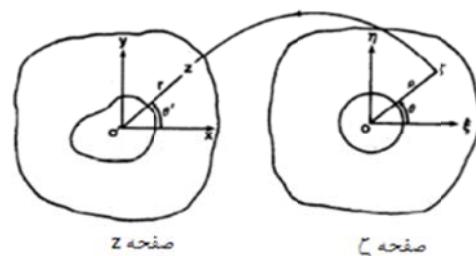
باتوجه به این‌که تمرکز تنش در صفحات همسان‌گرد دارای گشودگی مستقل از جنس و خواص مکانیکی ماده می‌باشد، بنابراین نتایج این پژوهش را می‌توان برای صفحات همسان‌گرد از سایر جنس‌ها نیز استفاده کرد. نتایج ارائه شده در این تحقیق برای ورق فولادی است. خواص مکانیکی ماده به کار رفته در این تحلیل برای فولاد مورد نظر، در جدول (۱) ارائه شده است.

جدول ۱ خواص مکانیکی ماده به کار رفته

E (GPa)	$\nu$	K (W/m°C)	$\alpha_0$ ( $\mu\text{m}/\text{m}^\circ\text{C}$ )	نوع ماده
۲۱۰	۰/۳	۵۰/۲	۱۱/۱	فولاد

## تابع نگاشت

همان‌طور که قبلاً بیان شد، فلورنس و گودیر [1,3] توزیع تنش را برای گشودگی‌های دایره‌ای و بیضی‌شکل از روش تحلیلی مورد بررسی قرار دادند. به منظور بسط روابط ارائه شده توسط فلورنس و گودیر برای به دست آوردن توزیع تنش اطراف سایر گشودگی‌ها و همچنین برای محاسبه راحت‌تر انتگرال کوشی در هنگام محاسبه تنش، بهتر است مرز گشودگی به دایره‌ای به شاع وحدت بدل شود. لذا به وسیله نگاشت همنوا تبدیل ناحیه خارج گشودگی در مختصات فیزیکی  $Z$  به محدوده خارج گشودگی دایره‌ای به شاع واحد در صفحه  $\zeta$  با تابع انتقال زیر صورت می‌گیرد (شکل ۲).



شکل ۲ نگاشت گشودگی

$$F(x, y) = \operatorname{Re}[\bar{z}\varphi(z) + \chi(z)] \quad (5)$$

که در آن  $z=x+iy$  متغیر مختلط و  $\bar{z}=x-iy$  مزدوج آن است.  $(\chi(z)\varphi(z))$  توابع پتانسیل تحلیلی هستند که با توجه به شرایط مرزی و دمایی و پیوستگی جایه‌جایی قابل محاسبه می‌باشند. با توجه به روابط فوق، مؤلفه‌های تنش بر حسب توابع پتانسیل با فرض  $\chi'(z) \equiv \psi(z)$  به صورت زیر قابل ارائه هستند [2].

$$\begin{aligned} \sigma_x + \sigma_y &= 2[\varphi'(z) + \overline{\varphi'(z)}] \\ &= 4\operatorname{Re}[\varphi'(z)] \end{aligned} \quad (6)$$

$$\sigma_y - \sigma_x + 2i\tau_{xy} = 2[\bar{z}\varphi''(z) + \psi'(z)]$$

تابع پتانسیل دمایی مختلط  $\Omega(z)$  برای یک ماده همسان‌گرد دوبعدی تابعی هولومورفیک است که به صورت زیر تعریف می‌شود:

$$\Omega(z) = T(x, y) + i\theta(x, y) \quad (7)$$

با درنظر گرفتن معادله هدایت حرارتی حالت پایدار، تابع دمایی  $T(x, y)$  در حالت دوبعدی باید معادله زیر را برآورده کند.

$$\frac{\partial^2 T}{\partial x^2} + \frac{\partial^2 T}{\partial y^2} = 0 \quad (8)$$

چون  $T(x, y)$  قسمت حقیقی  $\Omega(z)$  است پس می‌توان رابطه زیر را نوشت:

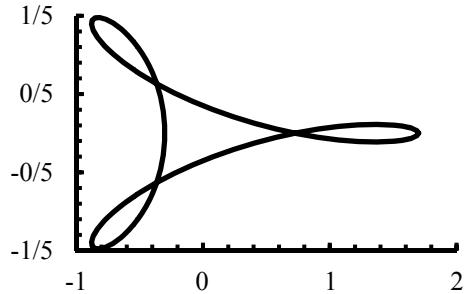
$$T(x, y) = \frac{1}{2} [\Omega_0(z) + \overline{\Omega_0(z)}] \quad (9)$$

مؤلفه‌های شار حرارتی  $q_x$  و  $q_y$  در جهات  $x$  و  $y$  به صورت زیر تعریف می‌شود.

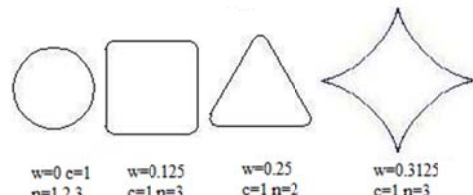
$$q_x - iq_y = -k\Omega_0'(z) \quad (10)$$

انحنای گوشه‌های گشودگی ( $w$ ) یکی از پارامترهای مهم و تأثیرگذار بر توزیع تنش اطراف گشودگی است که در این مقاله تأثیر این پارامتر بررسی می‌شود. معادلات اساسی مسئله ترموماستیسیته در حالت صفحه‌ای مؤلفه‌های تنش با استفاده از تابع تنش ایری  $F(x, y)$  به صورت زیر قابل ارائه است:

$$\sigma_x = \frac{\partial^2 F}{\partial y^2}, \sigma_y = \frac{\partial^2 F}{\partial x^2}, \tau_{xy} = -\frac{\partial^2 F}{\partial x \partial y} \quad (3)$$



شکل ۴ شکل مثلث با  $w=0.7$



شکل ۵ تأثیر پارامترهای مختلف در ایجاد گشودگی

معادله سازگاری در حالت دوبعدی بر حسب تابع تنش  $F$  به صورت زیر خواهد بود:

$$\frac{\partial^4 F}{\partial x^4} + 2 \frac{\partial^4 F}{\partial x^2 \partial y^2} + \frac{\partial^4 F}{\partial y^4} = 0 \quad (4)$$

موشخلشیلوی [2] با استفاده از روش متغیر مختلط حل زیر را برای معادله فوق پیشنهاد کرد:

باتوجه به رابطه فوق، برای تعیین توابع پتانسیل نیاز به تعیین تابع دمایی  $\Omega(\zeta)$  است. با فرض عایق بودن مرز گشودگی و با استفاده از رابطه (۱۰) تابع  $\Omega(\zeta)$  به صورت زیر به دست می آید.

$$\Omega(\zeta) = -\frac{q\lambda}{2\kappa} \left[ e^{-i\delta} (b\zeta + 2w\zeta^2) + e^{i\delta} \left( \frac{b}{\zeta} + \frac{2w}{\zeta^2} \right) \right] \quad (13)$$

که در آن،  $b=c+1$ . با در نظر گرفتن نقاط مرزی  $\zeta$ ، شرایط مرزی مربوط به تنش و جابه جایی برحسب توابع پتانسیل به ترتیب به صورت زیر بیان می شود [۳]:

$$\begin{aligned} \phi(\sigma) + \frac{\omega(\sigma)}{\omega'(\sigma)} \overline{\phi'(\sigma)} - \overline{\psi(\sigma)} &= 0 \\ \kappa\phi(\sigma) - \frac{\omega(\sigma)}{\omega'(\sigma)} \overline{\phi'(\sigma)} - \overline{\psi(\zeta)} &= 0 \quad (15) \\ &= 2G\alpha' \int \Omega(\sigma)\omega'(\sigma)d\zeta \end{aligned}$$

آنچه که برای اولین بار در این مقاله مورد مطالعه قرار گرفته است بررسی شعاع انحنای گوشه های انواع گشودگی های مختلف است.

### بررسی درستی جواب ها

همان طور که اشاره شد با انتخاب  $w=0$  و  $c=1$  گشودگی به دایره تبدیل می شود، حال آن که با انتخاب  $w=0$  و  $c=0$  مخالف یک گشودگی به بیضی تبدیل خواهد شد.

برای تأیید درستی نتایج، مقایسه ای بین حل تحلیلی حاضر (با انتخاب  $w=0$  و  $c=0$  مناسب) و نتایج ارائه شده در [۱, ۳] که توسط فلورنس و گودیر ارائه شدند؛ صورت گرفته است. فلورنس و گودیر تنש های حرارتی موضعی را در یک صفحه بی نهایت تحت شار حرارتی یکنواخت در اطراف گشودگی دایره ای بررسی

در یک مسئله ترمومالاستیستیک دوبعدی، تابع دمایی  $T(x,y)$  باعث ایجاد میدان جابه جایی حرارتی می شود. میدان جابه جایی حرارتی با استفاده از معادله زیر قابل محاسبه است [۳].

$$u + iv = \frac{1}{2} G \left[ \kappa\phi(z) - z\overline{\phi'(z)} - \overline{\psi(z)} \right] + \alpha' \int \Omega_0(z) dz \quad (11)$$

که در آن  $G = \frac{E}{2(1+v)}$  نشان دهنده مدول برشی ماده است.  $\alpha'$  و  $\kappa$  ضرایبی هستند که بسته به نوع فرض تنش صفحه ای یا کرنش صفحه ای به صورت زیر تعیین می شوند.  $v$  نسبت پواسون و  $\alpha_0$  ضریب انبساط حرارتی ورق است.

$$\begin{array}{lll} \kappa = \frac{3-v}{1+v} & \alpha' = \alpha_0 & \text{تنش صفحه ای} \\ \kappa = 3-4v & \alpha' = (1+v)\alpha_0 & \text{کرنش صفحه ای} \end{array}$$

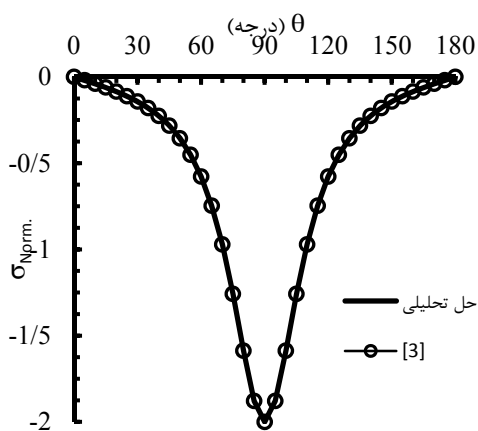
### معادلات اساسی در صفحه نگاشت

برای محاسبه ساده تر معادلات انتگرالی از روش کوشی، در این قسمت سعی می شود تا با استفاده از تابع نگاشت معرفی شده  $z = w(\zeta)$  کلیه معادلات و شرایط مرزی در صفحه نگاشت ارائه شود. مؤلفه های تنش و جابه جایی برحسب توابع پتانسیل در صفحه نگاشت به صورت زیر قابل محاسبه است [۳].

$$\begin{aligned} \sigma_x + \sigma_y &= 4\operatorname{Re} \left[ \frac{\phi'(\zeta)}{\omega'(\zeta)} \right] \\ \sigma_y - \sigma_x + 2i\tau_{xy} &= 2 \left[ \frac{\overline{\omega(\zeta)}}{\omega'(\zeta)} \left\{ \frac{\phi'(\zeta)}{\omega'(\zeta)} \right\}' + \frac{\overline{\psi'(\zeta)}}{\omega'(\zeta)} \right] \quad (12) \end{aligned}$$

$$\begin{aligned} u + iv &= \frac{1}{2} G \left[ \kappa\phi(\zeta) - \frac{\omega(\zeta)}{\omega'(\zeta)} \overline{\phi'(\zeta)} - \overline{\psi(\zeta)} \right] \\ &\quad + \alpha' \int \Omega(\zeta)\omega'(\zeta)d\zeta \end{aligned}$$

می باشد. در شکل (۷) نتایج برای حالت  $c=3$  باهم مقایسه شده است. نتایج حل تحلیلی حاضر و [۳] به طور کامل منطبق بر یکدیگر هستند. تحقیقات فلورنس و گودیر تنها برای گشودگی هایی به شکل دایره و بیضی صورت گرفته و تأثیر پارامتر  $w$  در آن لحاظ نشده است؛ حال آنکه در این مقاله شعاع انحنای گوشة گشودگی ( $w$ ) برای انواع گشودگی ها مورد بررسی قرار گرفته است.

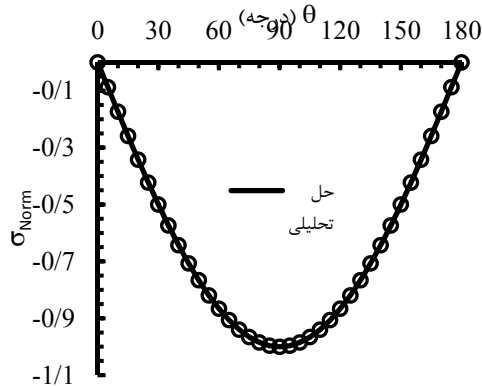


شکل ۷ مقایسه روش تحلیلی حاضر و [۳] برای گشودگی بیضی شکل

در شکل (۸) مقایسه حل تحلیلی حاضر و حل عددی به وسیله نرمافزار آباکوس (Abaqus) برای گشودگی مثلثی آمده است. نتایج تطابق قابل قبولی با یکدیگر دارند.

مقایسه دیگری بین حل تحلیلی حاضر (با انتخاب  $w$  و  $\lambda$  مناسب) و نتایج ارائه شده در مرجع [۱۹]، صورت گرفته است. وانگ [۱۸] از روش پرتوپیشون (Perturbation) تنش های حرارتی موضعی را در یک ورق بی نهایت تحت شار حرارتی یکنواخت با زاویه ۹۰ درجه، در اطراف گشودگی هایی که شکل آنها به دایره نزدیک است؛ مورد بررسی قرار داد. نتیجه این مقایسه در شکل (۹) نشان داده شده است. مطابق این

کردند [۱]. مقایسه حل تحلیلی حاضر و تحقیقات فلورنس و گودیر در شکل (۶) آمده است. در واقع این شکل توزیع تنش محیطی بی بعد شده را در اطراف گشودگی نشان می دهد.



شکل ۶ مقایسه روش تحلیلی حاضر و [۱] برای گشودگی دایره ای

منظور از تنش بی بعد در این تحقیق  $\alpha \sigma_{\text{Norm.}} = \frac{\sigma_\theta}{E\alpha q/k}$  است. که در آن  $E$  مدول یانگ،  $\alpha$  ضریب انبساط حرارتی،  $q$  شار حرارتی،  $k$  ضریب هدایت حرارتی و  $\lambda$  نشان دهنده اندازه گشودگی است.

نتایج حاصل از حل تحلیلی حاضر و نتایج به دست آمده از [۱] به طور کامل بر یکدیگر منطبق هستند. لازم به توضیح است که این نتایج با انتخاب  $w=0$  و  $c=1$  که معادل گشودگی دایره ای می باشد، به دست آمده است.

فلورنس و گودیر [۳] تنش های حرارتی موضعی را در یک ورق نامحدود تحت شار حرارتی یکنواخت، حول یک گشودگی بیضی شکل بررسی کردند. مقایسه حل تحلیلی حاضر و این تحقیقات در شکل (۷) آمده است.

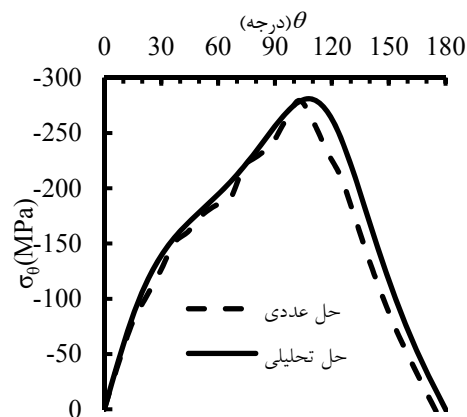
لازم به توضیح است که فلورنس و گودیر در مقاله خود تأثیرات کشیدگی را با  $m$  نشان داده اند؛ حال آنکه در این مقاله  $c$  نشان دهنده مقدار کشیدگی گشودگی

ندارد و فقط به هندسه گشودگی بستگی دارد. با عنایت به این موضوع تأثیر نرمی گشودگی در گشودگی‌های مختلف به صورت جداگانه بررسی می‌شود.

### گشودگی مثلثی

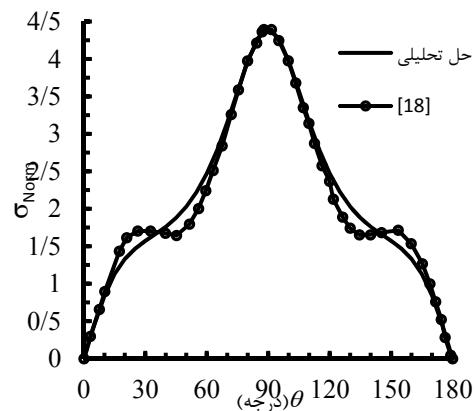
همان‌طور که قبلاً نیز بیان شد اثر نرمی گشودگی با پارامتر  $w$  در معادله (۲) مشخص می‌شود. مطابق آن‌چه در شکل (۳) نشان داده شده است، با کمتر شدن  $w$  گشودگی ملایم‌تر می‌شود و در  $w=0$  گشودگی، به دایره تبدیل می‌شود. البته این شکل برای گشودگی  $w$  شبه‌مربعی است ولی برای سایر گشودگی‌ها اثر  $w$  به‌همین صورت است. با تغییر انحنای گشودگی ( $w$ )، در هر  $w$  خاص یک تنش بی‌بعد ماقزیم به دست می‌آید، پس اگر انحنای گشودگی از صفر تا  $1/n$  تغییر کند به‌ازای هر انحنای گشودگی یک تنش بی‌بعد ماقزیم در اطراف گشودگی وجود دارد. از بین این تنش‌های بی‌بعد ماقزیم، کمترین و بیشترین مقدار به ترتیب تنش مطلوب و تنش نامطلوب نامیده شده است. در طراحی‌ها باید از تنش نامطلوب اجتناب کرد و به شرایط تنش مطلوب نزدیک شد. شعاع انحنایی ( $w$ ) که تنش مطلوب در آن اتفاق می‌افتد،  $w$  بهینه نام دارد. در مورد گشودگی مثلثی همان‌طور که در شکل (۱۰) دیده می‌شود، با کمتر شدن  $w$  یا ملایم‌تر شدن گشودگی تنش کاهش می‌یابد، طوری که کمترین مقدار تنش (تنش مطلوب) در کمترین  $w=0$  که معادل گشودگی دایره‌ای است رخ می‌دهد. این امر نشان‌دهنده آن است که انحنای گشودگی، پارامتر مهمی در کاهش شدت تنش در اطراف گشودگی است و همواره تنش بی‌بعد در گشودگی دایره‌ای کمتر از تنش بی‌بعد در صفحه نامحدود حاوی گشودگی مثلثی است.

شکل؛ نتایج حاصل از دو روش برای گشودگی مربعی با  $w=0.05$  و  $\lambda = 3.4$  با دقّت خوبی برهم منطبقند.



شکل ۸ مقایسه روش تحلیلی حاضر و حل عددی برای گشودگی مثلثی

نتایج مراجع مختلف با نتایج حاصل از این مقاله تطابق قابل قبولی با هم‌دیگر دارند که تأکیدی بر درستی نتایج حاصل از حل تحلیلی حاضر است.

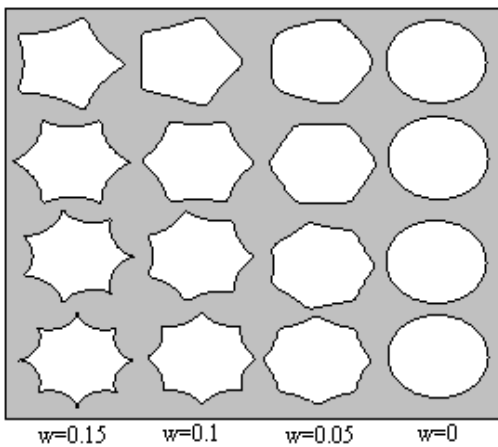


شکل ۹ مقایسه روش حل تحلیلی حاضر و مرجع [۱۹] برای گشودگی مربعی

### نتایج

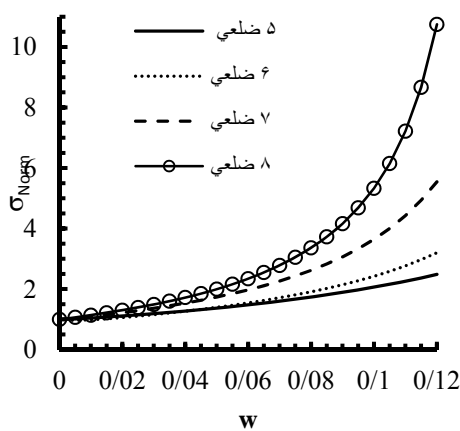
تأثیر نرمی گشودگی بر توزیع تنش بسته به نوع گشودگی متفاوت خواهد بود. لازم به توضیح است که در مورد مواد همسان‌گرد رفتار به نوع ماده بستگی

و مربعی به کار برده شد، نتایج آورده می‌شود. ابتدا در شکل (۱۲) تأثیر  $w$  بر روی شکل ظاهری گشودگی‌های مختلف نشان داده شده است.

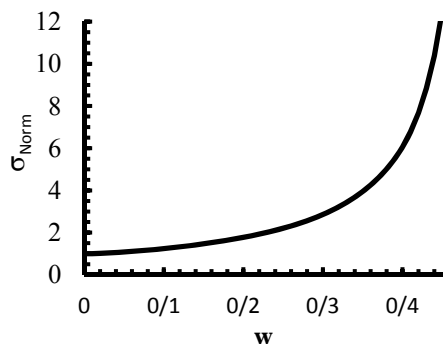


شکل ۱۲ تأثیر پارامتر  $w$  بر روی شکل گشودگی‌های  $n$  ضلعی

در شکل (۱۳) تأثیر  $w$  بر روی تنش ارائه شده است. برای گشودگی‌های ۵، ۶، ۷ و ۸ ضلعی مطابق شکل (۱۳) با کمتر شدن  $w$  تنش کاهش می‌یابد، طوری که تنش مطلوب در کمترین ( $w=0$ ) اتفاق می‌افتد. با افزایش تعداد اضلاع گشودگی شبیه تغییرات تنش بی‌بعد با  $w$  نیز افزایش می‌یابد.



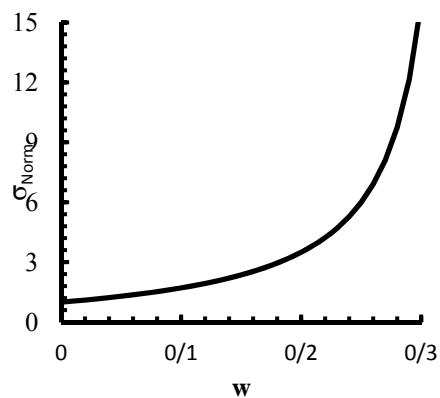
شکل ۱۳ تأثیر معیار تیزی روی تنش بی‌بعد در گشودگی‌های  $n$  ضلعی



شکل ۱۰ تأثیر معیار تیزی روی تنش در گشودگی مثلثی

### گشودگی مربعی

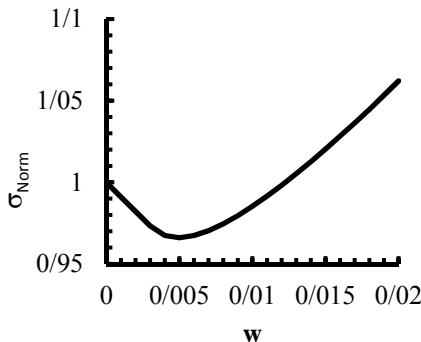
برای گشودگی مربعی همان‌طور که در شکل (۱۱) نشان داده شده است، رفتاری مشابه با گشودگی مثلثی دیده می‌شود.



شکل ۱۱ تأثیر معیار تیزی روی تنش در گشودگی مربعی

### گشودگی‌های $n$ ضلعی

در گشودگی مربعی نیز تنش با کمتر شدن  $w$  یا مایل‌تر شدن گشودگی کاهش می‌یابد، طوری که کمترین مقدار تنش در  $w$  بهینه صفر و گشودگی دایره‌ای رخ می‌دهد. با عبور از مقدار مشخصی برای  $w$  افزایش تنش بی‌بعد با شدت بیشتری رخ می‌دهد. این رفتار برای گشودگی مثلثی نیز مشهود است. برای این گونه گشودگی‌ها نیز مطابق با روندی که در ارائه نتایج گشودگی‌های مثلثی



شکل ۱۴ تأثیر معیار تیزی روی تنش در گشودگی شش ضلعی

### نتیجه گیری

در این مقاله تأثیر نرمی و تیزی گشودگی‌های مختلف در صفحات تحت شار حرارتی یکنواخت با استفاده از روش تحلیلی موردن بررسی قرار گرفت. در حالت کلی می‌توان از این تحقیق چنین نتیجه گرفت که اولاً نوع گشودگی و نرمی یا تیزی گشودگی در مقدار تنش تا بی بعد ماکریزم تأثیر بسزایی دارد و در گشودگی‌ها با شکل‌های متفاوت این ماکریزم در نقاط متفاوتی رخ می‌دهد. ثانیاً با نرمانتر شدن شعاع انحنا برای برخی از گشودگی‌ها، تنش بی بعد ماکریزم کاهش می‌یابد. ثالثاً برای بعضی از گشودگی‌ها مانند شش ضلعی، با در نظر گرفتن  $w$  بهینه می‌توان به تنش بی بعد ماکریزم کمتری از گشودگی دایره‌ای دست یافت.

برای گشودگی شش ضلعی همان‌طور که در شکل (۱۴) نشان داده شده است، رفتار متفاوتی نسبت به سایر گشودگی‌ها دیده می‌شود. در این نوع گشودگی با نرم‌تر شدن گشودگی یا کاهش  $w$  تا مقدار مشخصی تنش کاهش، سپس با کاهش مجدد  $w$  و میل کردن آن به سمت صفر، مقدار تنش افزایش می‌یابد. در این حالت گشودگی دایره‌ای بهترین شکل گشودگی نمی‌باشد. بنابراین با افزایش  $w$  و انتخاب شعاع انحنا مناسب می‌توان به تنش مطلوبی حتی کمتر از گشودگی دایره‌ای رسید. برای گشودگی شش ضلعی تنش تا  $w=0.012$  کمتر از تنش ناشی از گشودگی دایره‌ای ( $w=0$ ) است؛ کمترین تنش در  $w=0.005$  اتفاق می‌افتد. مقدار کمترین تنش بی بعد در  $w=0.005$  برابر  $0.966$  می‌باشد. لازم به یادآوری است که در حالت  $w=0$  یا گشودگی دایره‌ای مقدار تنش بی بعد ۱ می‌باشد. با بیشتر شدن  $w$  از مقدار  $0.012$  مقدار تنش افزایش می‌یابد. پس این گونه نیست که همیشه گشودگی دایره‌ای بهترین گشودگی باشد. گشودگی‌های خاصی وجود دارد که تحت آنها می‌توان به تنش کمتری نسبت به گشودگی دایره‌ای رسید.

### مراجع

- 1 Florence, A.L. and Goodier, J.N., "Thermal stress at spherical cavities and circular holes in uniform heat flow", *Journal of Applied Mechanics*, Vol. 26, pp. 293-294, (1995).
- 2 Muskhelishvili, N.I., "Some basic problems of mathematical theory of elasticity", 4th edition, Noordhoff, Netherlands, pp.361-366, (1963).
- 3 Florence, A.L. and Goodier, J.N., "Thermal stresses due to disturbance of uniform heat flow by an insulated ovaloid hole", *Journal of Applied Mechanics*, Vol. 27, pp. 635-639, (1960).
- 4 BapuRao, M.N., "Thermal stresses around an elliptic hole in an infinite thick plate subjected to a uniform heat flow", *Nuclear Engineering and Design*, Vol. 35, pp. 299-307, (1975).
- 5 Lee, C.W., "Thermal stresses in a thick plate", *International Journal of Solids and Structures*, Vol. 6, pp. 605-615, (1970).
- 6 Takeuti, Y. and Sumi, N., "Thermal stresses in rectangular plate with a circular hole based on an improve complex variable approach", *Mechanics Research Communication*, Vol. 3, pp. 133-138, (1976).

- 7 Nisitani, H., Saimoto, A., Noguchi, H. and Chert, D.H., "Method of analysis of two-dimensional stationary thermo-elastic problem by a body force method-1st Report, The Basic Theory", *Transactions of the Japan Society of Mechanical Engineers*, Vol. 57, No. 542, pp. 2561-2567, (1991).
- 8 Kattis, M.A., "Thermoelastic plane problems with curvilinear boundaries", *Acta Mechanica*, Vol. 87, pp. 93-103, (1991).
- 9 Hasebe, N., Tamai, K. and Nakamura, T., "Analysis of a kinked crack under uniform heat flow", *Journal of engineering mechanics (ASCE Transaction)*, Vol. 112, pp. 31-42, (1986).
- 10 Bhullar, S.K., "Thermal stresses in a hexagonal region with an elliptic hole", *Nonlinear Dynamics and Systems Theory*, Vol. 6, pp. 245-256, (2006).
- 11 Aseeri, S.A., "Goursat functions for a problem of an isotropic plate with a curvilinear hole", *International Journal of Open Problems in Computer Science*, Vol. 1, No. 3, pp. 266-285, (2008).
- 12 Bhullar, S.K. and Wegner, J.L., "Thermal stresses in a plate with hyper-elliptical hole", *Journal of Engineering and Technology Research*, Vol. 8, pp. 152-170, (2009).
- 13 Wu, C.H., "Plane anisotropic thermoelasticity", *Journal of Applied Mechanics*, Vol. 51, pp. 724-726, (1984).
- 14 Hwu, C., "Thermal stresses in an anisotropic plate disturbed by an insulated elliptic hole or crack", *Journal of Applied Mechanics*, Vol. 57, pp. 916-922, (1990).
- 15 Yoshikawa, K. and Hasebe, N., "Green's function of the displacement boundary value problem for a heat source in an infinite plane with an arbitrary shaped rigid inclusion", *Archive of Applied Mechanics*, Vol. 69, pp. 227- 239, (1999).
- 16 Chao, C.K. and Gao, B., "Mixed boundary-value problems of two-dimensional anisotropic thermoelasticity with elliptic boundaries", *International Journal of Solids and Structures*, Vol. 38, pp. 5975-5994, (2001).
- 17 Hasebe, N., "Magneto-elastic stress induced by an electric current in an infinite thin plate with an elliptical hole", *Archive of Applied Mechanics*, Vol. 80, pp. 1353-1370, (2010).
- 18 Hasebe, N., Bucher ,C.H. and Heuer, R., "Heat conduction and thermal stress induced by an electric current in an infinite thin plate containing an elliptical hole with an edge crack", *International Journal of Solids and Structures*, Vol. 47, pp. 138-147, (2010).
- 19 Wang, C.H. and Chao, C.K., "On perturbation solutions for nearly circular inclusion problems in plane thermoelasticity", *Journal of Applied Mechanics*, Vol. 69, pp. 36-44, (2002).
- 20 Hasebe, N., Wang, X.F., Saito, T. and Sheng, W., "Interaction between a rigid inclusion and a line crack under uniform heat flux", *International Journal of Solids and Structures*, Vol. 44, pp. 2426- 2441, (2007).
- 21 Chen, Y.Z., "General solution for arc crack problem in thermoelastic medium", *International Journal of Engineering Science*, Vol. 40, pp. 2223-2234, (2002).
- 22 Vinh, P.C., Hasebe, N., Wang, X.F. and Saito, T., "Interaction between a cracked hole and a line crack under uniform heat flux", *International Journal of Fracture*, Vol. 131, pp. 367-384, (2005).
- 23 Gao, C.F., Zhao, Y.T. and Wang, M.-Zh., "An exact and explicit treatment of an elliptic hole problem in thermopiezoelectric media", *International Journal of Solids and Structures*, Vol. 39, pp. 2665- 2685, (2002).
- 24 Li, R. and Kardomateas, G. A., "Thermo-elastic crack branching in general anisotropic media", *International Journal of Solids and Structures*, Vol. 42, pp. 1091-1109, (2005).
- 25 Seddeek M. A., Abdou M. A. , El-Sayed W. G. and El-Saedy F. M., "Complex Potential Functions and Integro-Differential Equation in Elastic Media Problem in Presence of Heat", *American Journal of Fluid Dynamics*, Vol. 2, pp. 31-41, (2012).